



Министерство науки и высшего образования Российской Федерации  
Федеральное государственное бюджетное образовательное учреждение  
высшего образования  
«Московский государственный технический университет  
имени Н. Э. Баумана  
(национальный исследовательский университет)»  
(МГТУ им. Н. Э. Баумана)

---

ФАКУЛЬТЕТ «Информатика и системы управления»

---

КАФЕДРА «Программное обеспечение ЭВМ и информационные технологии»

---

# РАСЧЕТНО-ПОЯСНИТЕЛЬНАЯ ЗАПИСКА

## *К КУРСОВОЙ РАБОТЕ*

*НА ТЕМУ:*  
*«Генератор трехмерного ландшафта»*

Студент ИУ7-53Б  
(Группа)

\_\_\_\_\_  
(Подпись, дата)

Лысцев Н. Д.  
(И. О. Фамилия)

Руководитель курсовой работы

\_\_\_\_\_  
(Подпись, дата)

Филлипов М. В.  
(И. О. Фамилия)

*2023 г.*

# СОДЕРЖАНИЕ

<b>ВВЕДЕНИЕ</b>	<b>4</b>
<b>1 Аналитический раздел</b>	<b>5</b>
1.1 Формализация объектов синтезируемой сцены . . . . .	5
1.2 Анализ способов представления данных о ландшафте . . . . .	5
1.2.1 Регулярная сетка . . . . .	5
1.2.2 Иррегулярная сетка . . . . .	6
1.2.3 Посегментная карта высот . . . . .	7
1.3 Анализ алгоритмов процедурной генерации ландшафта . . . . .	7
1.3.1 Алгоритм Diamond-Square . . . . .	7
1.3.2 Холмовой алгоритм . . . . .	8
1.3.3 Алгоритм шума Перлина . . . . .	9
1.4 Анализ алгоритмов удаления невидимых линий и поверхностей .	11
1.4.1 Алгоритм Робертса . . . . .	11
1.4.2 Алгоритм, использующий Z-буфер . . . . .	11
1.4.3 Алгоритм обратной трассировки лучей . . . . .	12
1.5 Анализ моделей освещения . . . . .	13
1.5.1 Модель освещения Ламберта . . . . .	13
1.5.2 Модель освещения Фонга . . . . .	13
1.6 Анализ алгоритмов закраски . . . . .	13
1.6.1 Алгоритм простой закраски . . . . .	13
1.6.2 Алгоритм закраски по Гуро . . . . .	14
1.6.3 Алгоритм закраски по Фонгу . . . . .	14
<b>2 Конструкторский раздел</b>	<b>17</b>
2.1 Требования к программному обеспечению . . . . .	17
2.2 Разработка алгоритмов . . . . .	17
2.2.1 Алгоритм процедурной генерации ландшафта на основе шума Перлина . . . . .	17
2.2.2 Модель освещения Ламберта . . . . .	20

2.2.3	Алгоритм, использующий Z-буфер . . . . .	21
2.2.4	Алгоритм закраски по Гуро . . . . .	23
2.2.5	Алгоритм, использующий Z-буфер, объединенный с закраской по Гуро . . . . .	24
<b>3</b>	<b>Технологический раздел</b>	<b>25</b>
<b>4</b>	<b>Исследовательский раздел</b>	<b>26</b>
	<b>ЗАКЛЮЧЕНИЕ</b>	<b>27</b>
	<b>СПИСОК ИСПОЛЬЗОВАННЫХ ИСТОЧНИКОВ</b>	<b>29</b>

# ВВЕДЕНИЕ

В настоящее время технологии трехмерной графики стремительно развиваются. Одним из направлений применения этих технологий является создание видеоигр. Наибольшую популярность набирают игры с так называемым открытым миром.

Основой для открытого мира служит трехмерный ландшафт значительных размеров, который для реалистичности должен быть разнообразным и детализированным. Традиционные методы ручного моделирования ландшафта являются крайне громоздкими, трудоемкими и ограниченными в своей вариативности.

Возникает потребность в создании программного обеспечения, которое бы позволяло автоматизировать процессы создания реалистичного ландшафта, чтобы ускорить разработку игр и обеспечить большую степень креативной свободы для разработчиков.

Целью работы является разработка программного обеспечения для генерации и визуализации трехмерного ландшафта.

Для достижения желаемых результатов необходимо решить следующие задачи:

- 1) Выполнить формализацию объектов синтезируемой сцены;
- 2) Провести анализ существующих алгоритмов создания ландшафта и визуализации сцены;
- 3) Выбрать подходящие алгоритмы для решения поставленной задачи.
- 4) Реализовать выбранные алгоритмы.

# 1 Аналитический раздел

В данном разделе дано формальное описание объектов синтезируемой сцены, проанализированы разные способы представления данных о ландшафте, рассмотрены алгоритмы процедурной генерации ландшафта, алгоритмы удаления невидимых линий и поверхностей, алгоритмы закраски и модели освещения.

## 1.1 Формализация объектов синтезируемой сцены

Сцена состоит из следующих объектов:

- ландшафт – трехмерная модель, описываемая полигональной сеткой [lands];
- источник света – материальная точка, испускающая лучи света.

## 1.2 Анализ способов представления данных о ландшафте

Существует несколько основных принципов представления данных для хранения информации о ландшафте [1]:

- регулярная сетка высот (карта высот);
- иррегулярная сетка вершин и связей, их соединяющих;
- посегментная карта высот.

### 1.2.1 Регулярная сетка

Данные представлены в виде двумерного массива [2]. Каждый элемент массива имеет свои индексы  $[i, j]$ , являющиеся координатами расположения точки на плоскости. Для каждой вершины с индексами  $[i, j]$  в двумерном массиве определяется соответствующее значение высоты  $h_{ij}$ . На рисунке 1.1 показан пример представления ландшафта с помощью карты высот.

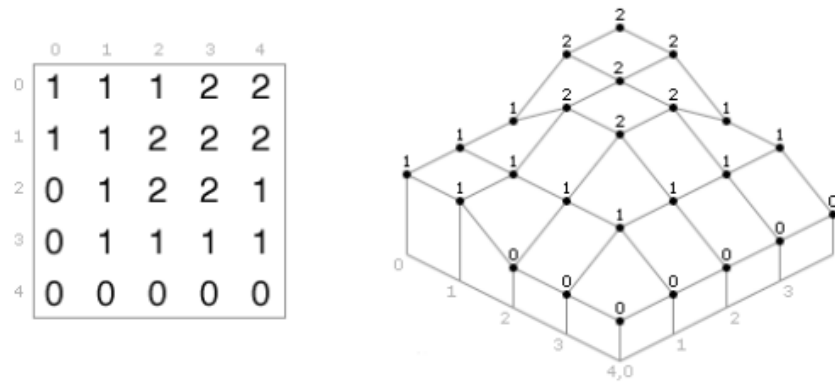


Рисунок 1.1 – Пример представления ландшафта с помощью карты высот [2]

К преимуществам данного способа можно отнести наглядность и простоту изменения данных, легкость нахождения координат и высоты на карте, возможность более точно производить динамическое освещение. Однако, у такого метода есть один существенный недостаток – избыточность данных (например, при задании плоскости) [1].

### 1.2.2 Иррегулярная сетка

Иррегулярная сетка позволяет размещать точки или узлы в произвольных местах в зависимости от необходимости и особенностей ландшафта.

У такого метода есть несколько существенных недостатков [1]:

- многие алгоритмы построения ландшафтом предназначены для регулярных сеток высот, поэтому оптимизация этих алгоритмов под иррегулярную сетку потребует значительных усилий и времени;
- из-за неравномерного расположения вершинных точек друг к другу возникает сложность при создании динамического освещения;
- сложности при хранении, модификации и просмотре такого ландшафта.

К плюсам данного способа можно отнести использование меньшей информации для построения ландшафта [1].

### 1.2.3 Посегментная карта высот

Суть этого метода заключается в разделении изначальной области на небольшие участки (например, квадратной формы), и генерации высот на каждом участке отдельно [3].

К преимуществам данного способа можно отнести возможность представления больших открытых пространств, возможность хранения информации о других объектах (строения, пещеры, скалы), возможность создания нескольких вариантов одного и того же сегмента, но с разным уровнем детализации. К недостаткам можно отнести проблему стыковки разных сегментов, неочевидность представления данных, проблему модификации этих данных [1].

## 1.3 Анализ алгоритмов процедурной генерации ландшафта

Основным критерием выбора алгоритма будет качество получаемого ландшафта, поскольку для решения задачи необходимо создавать правдоподобный рельеф.

### 1.3.1 Алгоритм Diamond-Square

Данный алгоритм является расширением одномерного алгоритма *midpoint displacement* [4] на двумерную плоскость. Алгоритм *Diamond – Square* [5] выполняется рекурсивно и начинает работу с двумерного массива размера  $2^n + 1$ . В четырёх угловых точках массива устанавливаются начальные значения высот. Шаги *diamond* и *square* выполняются поочередно до тех пор, пока все значения массива не будут установлены.

- 1) Шаг *diamond* – для каждого квадрата в массиве, устанавливается срединная точка, которой присваивается среднее арифметическое из четырёх угловых точек плюс случайное значение.
- 2) Шаг *square* – берутся средние точки граней тех же квадратов, в которые устанавливается среднее значение от четырёх соседних с ними по осям точек плюс случайное значение.

На рисунке 1.2 показаны последовательность действий алгоритма *Diamond – Square* на примере массива 5x5.

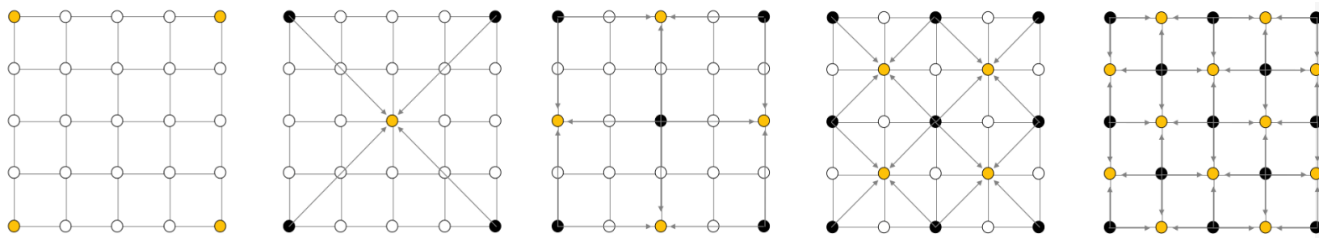


Рисунок 1.2 – Шаги, проходимые алгоритмом Diamond-Square на примере массива 5x5 [6]

К преимуществам данного алгоритма можно отнести простоту его реализации и возможность генерации различных ландшафтов с разнообразной детализацией.

К недостаткам можно отнести создание вертикальных и горизонтальных «складок» на краях карты из-за наиболее значительного возмущения, происходящего в прямоугольной сетке [6], а также сложности с контролем получаемого ландшафта.

### 1.3.2 Холмовой алгоритм

Это простой итерационный алгоритм, основанный на нескольких входных параметрах. Алгоритм изложен в следующих шагах [7]:

- 1) Создается и инициализируется нулевым уровнем двумерный массив;
- 2) Берется случайная точка на ландшафте или около его границ (за границами) и случайный радиус в заранее заданных пределах. Выбор этих пределов влияет на вид ландшафта – либо он будет пологим, либо скалистым;
- 3) В выбранной точке «поднимается» холм заданного радиуса;
- 4) Выполнение пунктов 1) - 3)  $n$  раз, где  $n$  – выбранное количество шагов.
- 5) Проведение нормализации ландшафта;
- 6) Проведение «долинизации» ландшафта.



К преимуществам данного алгоритма можно отнести простоту его реализации, а также возможность контроля «гористости» ландшафта за счет этапов нормализации и долинизации.

Данный алгоритм имеет несколько недостатков:

- с помощью этого алгоритма тяжело смоделировать склон холма, или горы, так как в процессе генерации ландшафта используются только гладкие полусферы [8];
- этот алгоритм неприменим, когда требуется детализировано отобразить лишь часть всего ландшафта [8].

### 1.3.3 Алгоритм шума Перлина

Это математический алгоритм по генерированию процедурной текстуры псевдо-случайным методом [9]. Этот алгоритм может быть реализован для  $n$ -мерного пространства, но чаще его используют для одно-, двух-, трехмерного случая.

Рассмотрим версию этого алгоритма для двумерного случая:

Для карты высот создается сетка точек и в каждой точке сетки генерируется псевдослучайный единичный вектор-направления градиента. Для каждой точки с координатами  $(x, y)$  из карты высот определяется, в какой ячейке сетки находится точка, генерируются вектора, идущие от точек ячейки сетки до этой точки. На рисунке 1.3 показан пример векторов для точки  $(x, y)$ .

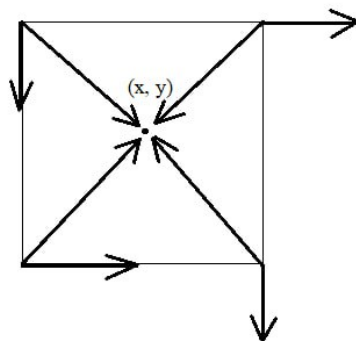


Рисунок 1.3 – Пример сгенерированных векторов для точки  $(x, y)$

Вычисляются четыре скалярных произведения векторов-направлений градиента и вектора, идущего от связанной с ним точки сетки к точке с координатами  $(x, y)$ .

Далее, чтобы получить значение высоты  $z$  в точке  $(x, y)$ , необходимо провести двумерную интерполяцию на основе полученных скалярных произведений. Для создания плавного перехода между значениями предварительно производятся вычисления весов измерений по  $x$  и по  $y$ . Веса определяются функцией

$$smootherstep(t) = 6t^5 - 15t^4 + 10t^3 \quad (1.1)$$

где вместо  $t$  подставляются значения  $x$  и  $y$ . Далее, используя метод последовательной интерполяции по каждому измерению, получаем значения двух одномерных линейных интерполяций с использованием веса по  $x$ , и в конце проводим одну одномерную линейную интерполяцию с этими вычисленными значениями, но уже по весу измерения  $y$ . Полученное значение и будет высотой в данной точке  $(x, y)$  карты высот [10].

Чтобы контролировать генерацию шума, существует набор параметров:

- октавы – количество уровней детализации шума;
- лакунарность – множитель, который определяет изменение частоты с ростом октавы;
- стойкость – множитель частотной амплитуды, который определяет изменение амплитуды с ростом октавы.

Для достижения качественного детализированного ландшафта можно смешивать шумы разных частот и амплитуд.

Преимущества:

- комбинация различных октав в алгоритме шума Перлина позволяет добавлять дополнительные уровни детализации к сгенерированному шуму, тем самым повышая реалистичность и детализацию ландшафта;
- зная лишь параметры генерации, можно получить высоту в любой точке карты без необходимости знания высот в соседних точках карты.

Недостатком является низкая детализация и реалистичность сгенерированного ландшафта без использования механизма комбинации октав.

## **1.4 Анализ алгоритмов удаления невидимых линий и поверхностей**

Главным требованием при выборе алгоритма будут высокая скорость работы, чтобы пользователю не приходилось ждать долгой загрузки изображения.

### **1.4.1 Алгоритм Робертса**

Алгоритм Робертса работает в объектном пространстве только с выпуклыми телами. Если тело не является выпуклым, то его предварительно нужно разбить на выпуклые составляющие [11].

Этот алгоритм выполняется в 4 этапа:

- 1) Подготовка исходных данных – составление матрицы тела для каждого тела сцены;
- 2) Удаление ребер, экранируемых самим телом;
- 3) Удаление ребер, экранируемых другими телами;
- 4) Удаление линий пересечения тел, экранируемых самими телами и другими телами, связанными отношением протыкания.

Алгоритм работает только с выпуклыми телами, что является недостатком данного алгоритма. Также к недостатку можно отнести то, что вычислительная сложность теоретически растет как квадрат числа объектов. К преимуществам можно отнести высокую точность вычислений.

### **1.4.2 Алгоритм, использующий Z-буфер**

Это один из простейших алгоритмов удаления невидимых поверхностей. Работает этот алгоритм в пространстве изображения [11].

В данном алгоритме используется два буфера: буфер кадра и z-буфер. Буфер кадра используется для заполнения атрибутов (интенсивности) каждого

пикселя в пространстве изображения. z-буфер – отдельный буфер глубины, используемый для запоминания координаты  $z$  или глубины каждого видимого пикселя в пространстве изображения [11].

Вначале в z-буфер заносятся минимально возможные значения  $z$ , а буфер кадра заполняется заполняются фоновым значением интенсивности или цвета. Затем каждый многоугольник преобразовывается в растровую форму. Суть работы алгоритма заключается в следующем: в процессе работы глубина (значение координаты  $z$ ) каждого нового пикселя, который надо занести в буфер кадра сравнивается с глубиной того пикселя, который уже есть в z-буфере. Если новый пиксель оказывается расположен ближе к наблюдателю, то новый пиксель заносится в буфер кадра. При этом в z-буфер заносится глубина нового пикселя. Если сравнение дало противоположный результат, то никаких действий не производится.

К преимуществам данного алгоритма относится простота его реализации, возможность работы со сценами любой сложности, отсутствие необходимости в сортировке по приоритету глубины.

К недостаткам можно отнести большой объем требуемой памяти, трудоемкость и высокая стоимость устранения лестничного эффекта, трудоемкость реализации эффектов прозрачности и просвечивания.

### **1.4.3 Алгоритм обратной трассировки лучей**

Наблюдатель видит объект посредством испускаемого источником света, который падает на этот объект и согласно законам оптики некоторым путем доходит до глаза наблюдателя. Алгоритм имеет такое название, потому что эффективнее с точки зрения вычислений отслеживать пути лучей в обратном направлении, то есть от наблюдателя к объекту.

Преимуществами данного алгоритма являются возможность его использования в параллельных вычислительных системах и высокая реалистичность получаемого изображения, а недостатком – большое количество вычислений и медленная работа алгоритма.

## 1.5 Анализ моделей освещения

В данном разделе будут рассмотрены две модели освещения: модель Ламберта и модель Фонга.

### 1.5.1 Модель освещения Ламберта

Модель Ламберта моделирует идеальное диффузное освещение. Считается, что свет при попадании на поверхность рассеивается равномерно во все стороны. При расчете такого освещения учитывается только ориентация поверхности (нормаль  $N$ ) и направление на источник света (вектор  $L$ ). Рассеянная составляющая рассчитывается по закону косинусов (закон Ламберта) [12].

### 1.5.2 Модель освещения Фонга

Модель Фонга – классическая модель освещения. Модель представляет собой комбинацию диффузной составляющей (модели Ламберта) и зеркальной составляющей и работает таким образом, что кроме равномерного освещения на материале может еще появляться блик. Местонахождение блика на объекте, освещенном по модели Фонга, определяется из закона равенства углов падения и отражения. Если наблюдатель находится вблизи углов отражения, яркость соответствующей точки повышается [12].

## 1.6 Анализ алгоритмов закраски

Методы закраски используются для затенения полигонов модели в условиях некоторой сцены, имеющей источники освещения. Существует три основных алгоритма, позволяющих закрасить полигональную модель.

### 1.6.1 Алгоритм простой закраски

Суть данного алгоритма заключается в том, что для каждой грани объекта находится вектор нормали, и с его помощью в соответствии с выбранной моделью освещения вычисляется значение интенсивности, с которой закрашивается вся грань. При данной закраске все плоскости (в том числе и те, что аппроксимируют фигуры вращения), будут закрашены однотонно, что в случае с фигурами

вращения будет давать ложные ребра [11].

К преимуществам можно отнести простоту реализации алгоритма и его быстрое действие. В качестве недостатков можно выделить нереалистичность результата.

### **1.6.2 Алгоритм закрашки по Гуро**

Данный алгоритм позволяет получить более сглаженное изображение. Это достигается благодаря тому, что разные точки грани закрашиваются разным значением интенсивности.

Алгоритм состоит из следующих шагов:

- 1) Вычисление векторов нормалей к каждой грани;
- 2) Вычисление векторов нормали к каждой вершине грани путем усреднения нормалей примыкающих граней;
- 3) Вычисление интенсивности в вершинах грани в соответствии с выбранной моделью освещения;
- 4) Выполнение линейной интерполяции интенсивности вдоль ребер;
- 5) Выполнение линейной интерполяции вдоль сканирующей строки.

Преимуществами данного алгоритма являются хорошее сочетание с моделью освещения с диффузным отражением, а также более высокая, по сравнению с алгоритмом простой закрашки, реалистичность получаемого изображения.

К недостаткам можно отнести отсутствие учета кривизны поверхности [11].

### **1.6.3 Алгоритм закрашки по Фонгу**

В алгоритме закрашки по Фонгу используется билинейная интерполяция не интенсивностей в вершинах полигона, а билинейная интерполяция векторов нормалей. Благодаря такому подходу изображение получается более реалистичным. Однако для достижения такого результата требуется больше вычислительных затрат [11].

Данный алгоритм состоит из следующих шагов:

- 1) Вычисление векторов нормалей к каждой грани;
- 2) Вычисление векторов нормали к каждой вершине грани путем усреднения нормалей примыкающих граней;
- 3) Выполнение линейной интерполяции нормалей вдоль ребер;
- 4) Выполнение линейной интерполяции нормалей вдоль сканирующей строки.
- 5) Вычисление интенсивности в каждой вершине

## Вывод

Таблица 1.1 – Сравнение способов представления данных о ландшафте

Способ	Наглядность представления данных	Сложность модификации данных
Регулярная сетка	Высокая	Низкая
Иррегулярная сетка	Высокая	Средняя
Посегментная карта высот	Средняя	Высокая

Таблица 1.2 – Сравнение алгоритмов процедурной генерации ландшафта

Алгоритм	Качество ландшафта	Отсутствие артефактов	Контроль ландшафта
Diamond-Square	Среднее	–	Низкая
Холмовой алгоритм	Среднее	+	Средний
Шум Перлина	Высокое	+	Высокая

Таблица 1.3 – Сравнение алгоритмов удаления невидимых линий и поверхностей

Алгоритм	Сложность алгоритма	Скорость работы	Типы объектов
Алгоритм Робертса	$O(n^2)$	Средняя	Выпуклые многогранники
Алгоритм с $z$ -буфером	$O(np)$	Высокая	Произвольные
Алгоритм с обратной трассировки лучей	$O(np)$	Низкая	Произвольные

Таблица 1.4 – Сравнение моделей освещения

Модель освещения	Реалистичность изображения	Объем вычислений
Модель Ламберта	Средняя	Средний
Модель Фонга	Высокая	Большой

Таблица 1.5 – Сравнение алгоритмов закраски

Алгоритм закраски	Скорость работы	Реалистичность изображения	Сочетание с диффузным отражением
Простая закраска	Высокая	Низкая	Высокое
Закраска по Гуро	Средняя	Средняя	Высокое
Закраска по Фонгу	Низкая	Высокая	Средняя

В данном разделе были рассмотрены существующие методы для визуализации и построения трехмерного ландшафта. В качестве способа представления данных о ландшафте была выбрана регулярная карта высот ввиду своей простоты представления данных, в качестве алгоритма генерации карты высот был выбран алгоритм шума Перлина. Поскольку основным критерием выбора алгоритмов была скорость их работы, то для удаления невидимых линий и поверхностей был выбран алгоритм, использующий  $Z$ -буфер, а в качестве модели освещения и алгоритма закраски были выбраны модель Ламберта и алгоритм закраски по Гуро.



## **2 Конструкторский раздел**

В данном разделе ...

### **2.1 Требования к программному обеспечению**

Разрабатываемое программное обеспечение должно предоставлять пользователю следующую функциональность:

- изменение параметров алгоритма шума Перлина для генерации ландшафта;
- изменение положение источника света;
- возможность управления положением модели (перемещение, масштабирование, поворот);
- задание и изменение уровня моря в интерактивном режиме;

При этом разрабатываемая программа должна удовлетворять следующим требованиям:

- время отклика программы должно быть менее 1 секунды для корректной работы в интерактивном режиме;
- программа должна корректно реагировать на любые действия пользователя.

### **2.2 Разработка алгоритмов**

#### **2.2.1 Алгоритм процедурной генерации ландшафта на основе шума Перлина**

На рисунке 2.1 представлена схема алгоритма генерации карты высот на основе шума Перлина.

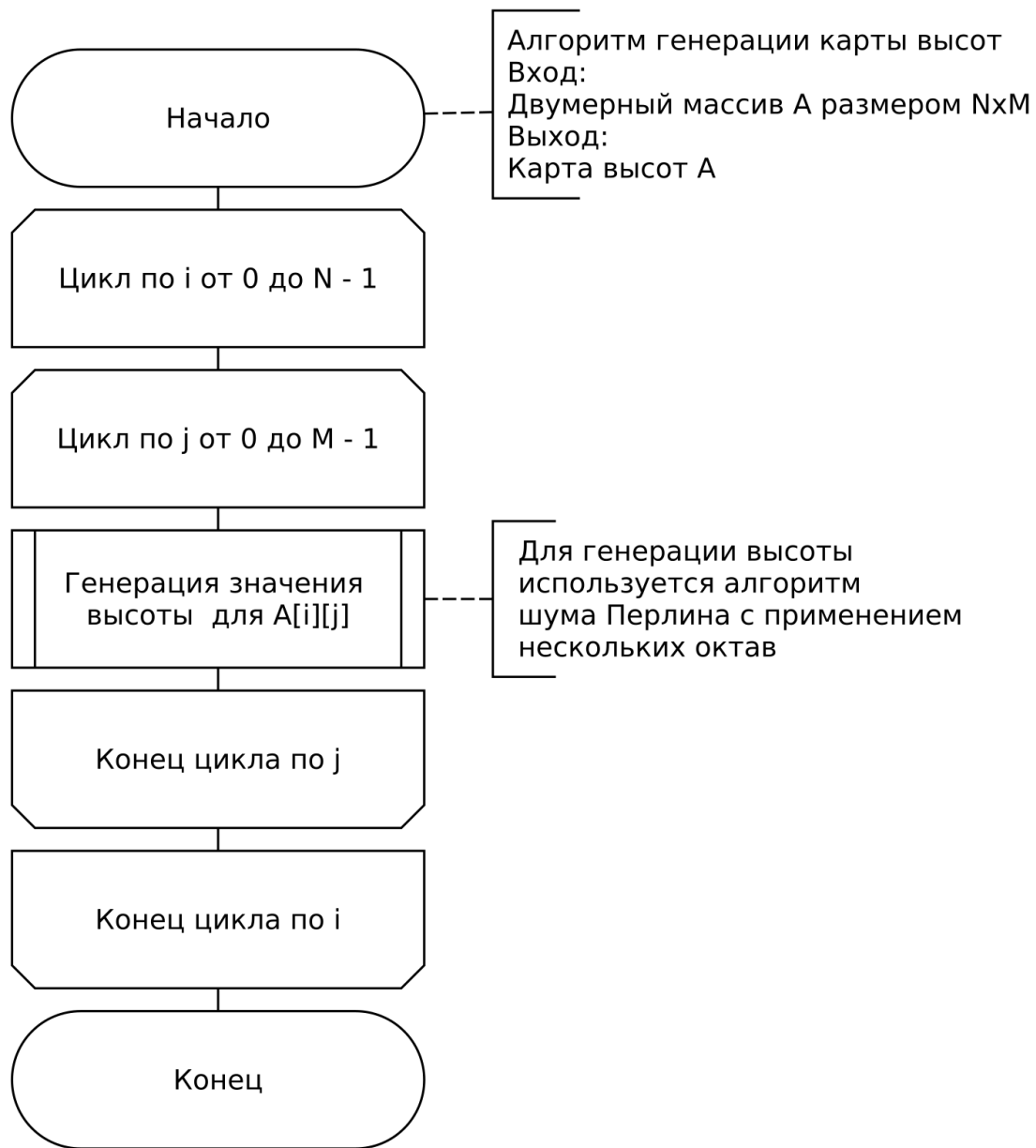


Рисунок 2.1 – Схема алгоритма генерации карты высот на основе шума Перлина

На рисунке 2.2 представлена схема алгоритма шума Перлина с применением нескольких октав.

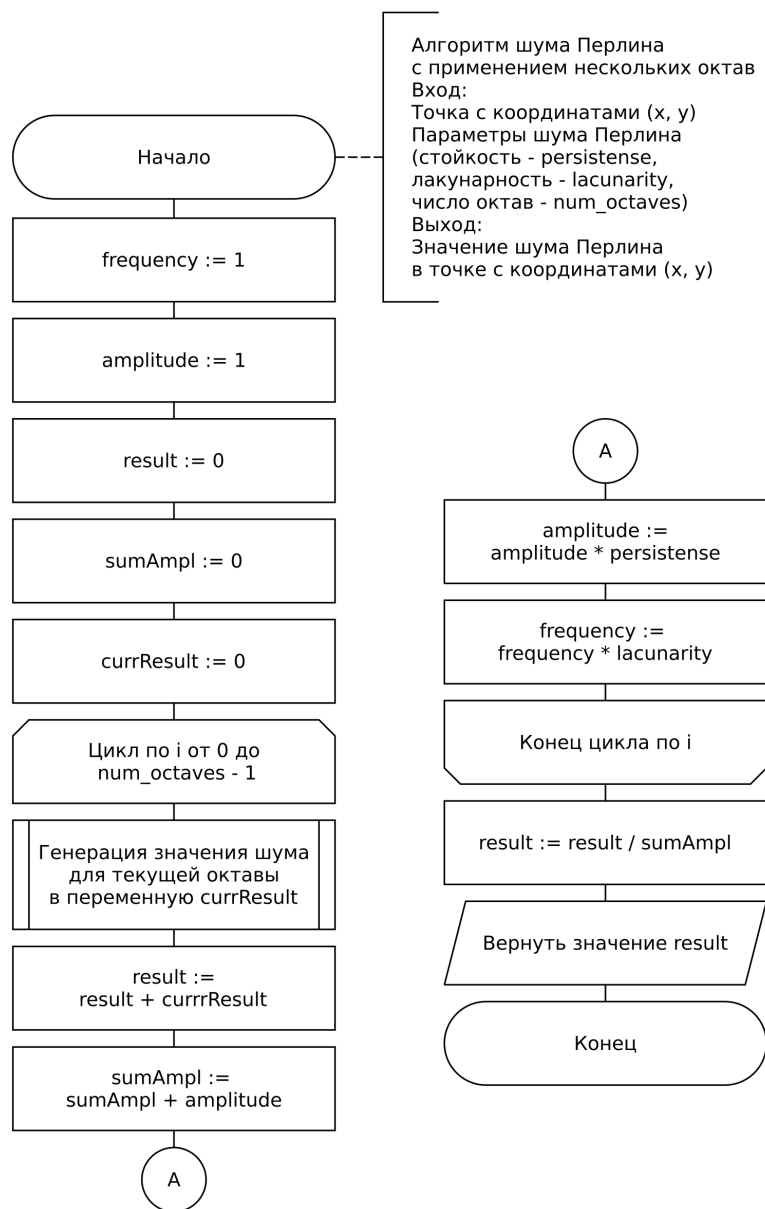


Рисунок 2.2 – Схема алгоритма шума Перлина с применением нескольких октав

На рисунке 2.3 представлена схема алгоритма шума Перлина.

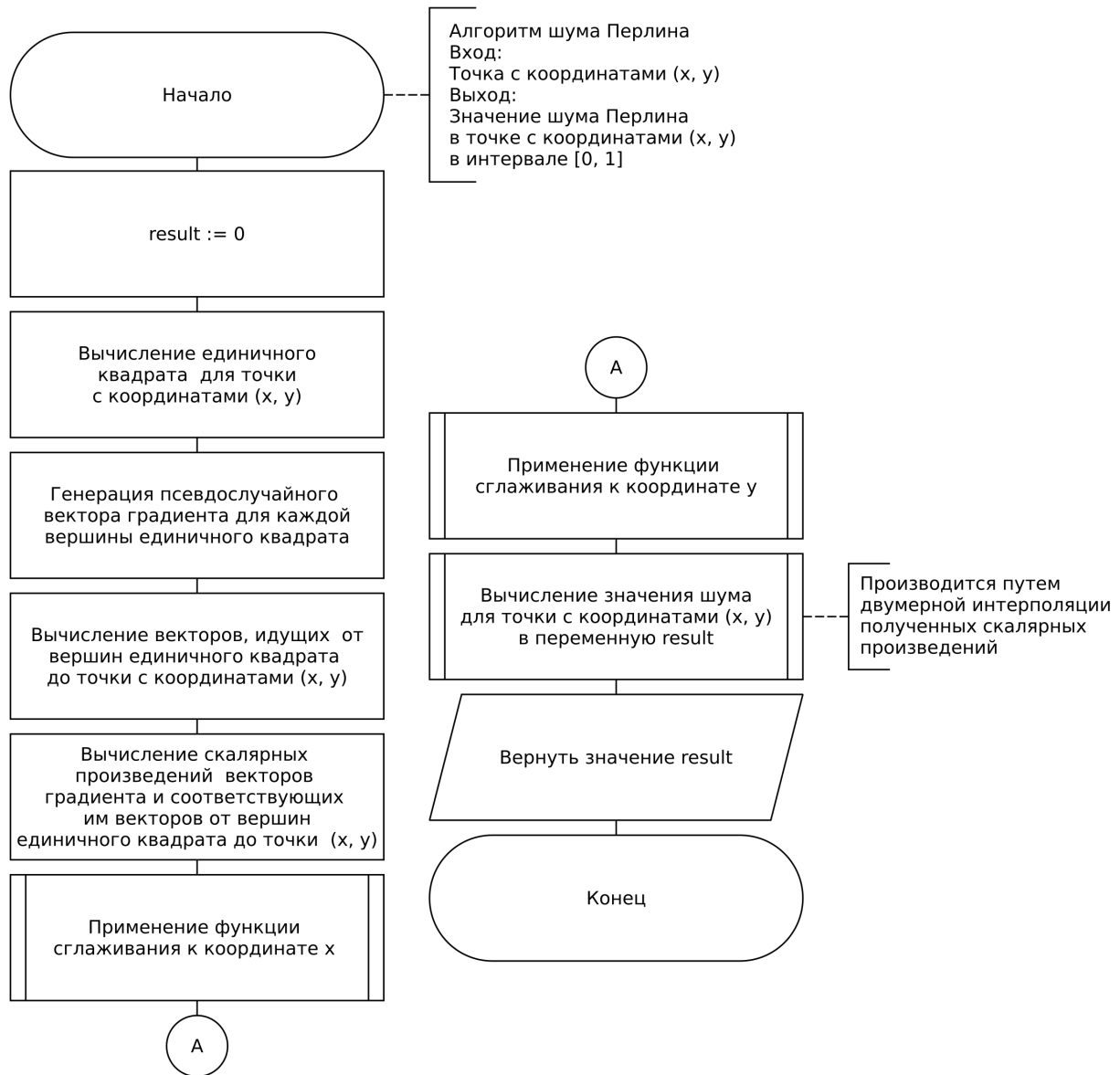


Рисунок 2.3 – Схема алгоритма шума Перлина

## 2.2.2 Модель освещения Ламберта

В основе модели Ламберта лежит закон Ламберта [13], который утверждает, что интенсивность света, отраженного от материала, пропорциональна косинусу угла между нормалью к поверхности и направлением света. Это означает, что поверхности, ориентированные более к световому источнику, будут ярче, а те, которые ориентированы более в сторону от источника света, будут менее освеще-

ны. На рисунке 2.4 показан пример взаимного расположения вектора нормали (вектор  $N$ ) и вектора направления от точки к источнику света (вектор  $L$ ).

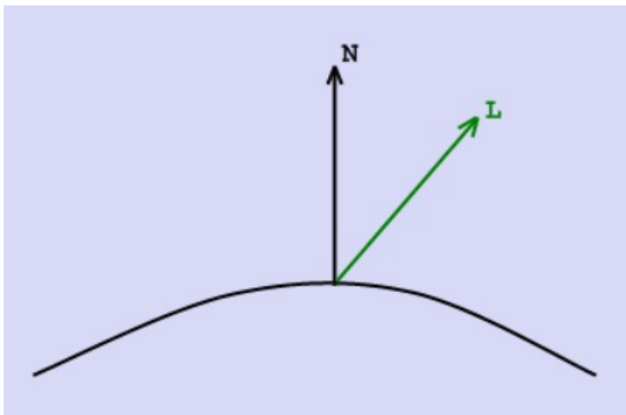


Рисунок 2.4 – Пример расположения векторов  $N$  и  $L$  в модели освещения Ламберта [12]

Пусть:

- $\vec{L}$  — единичный вектор от точки до источника;
- $\vec{N}$  — единичный вектор нормали;
- $I$  — результирующая интенсивность света в точке;
- $I_0$  — интенсивность источника;
- $K_d$  — коэффициент диффузного освещения.

Формула расчета интенсивности имеет следующий вид:

$$I = I_0 \cdot K_d \cdot \cos(\vec{L}, \vec{N}) \cdot I_d = I_0 \cdot K_d \cdot (\vec{L}, \vec{N}) \quad (2.1)$$

### 2.2.3 Алгоритм, использующий Z-буфер

На рисунке 2.5 представлена схема алгоритма z-буфера.

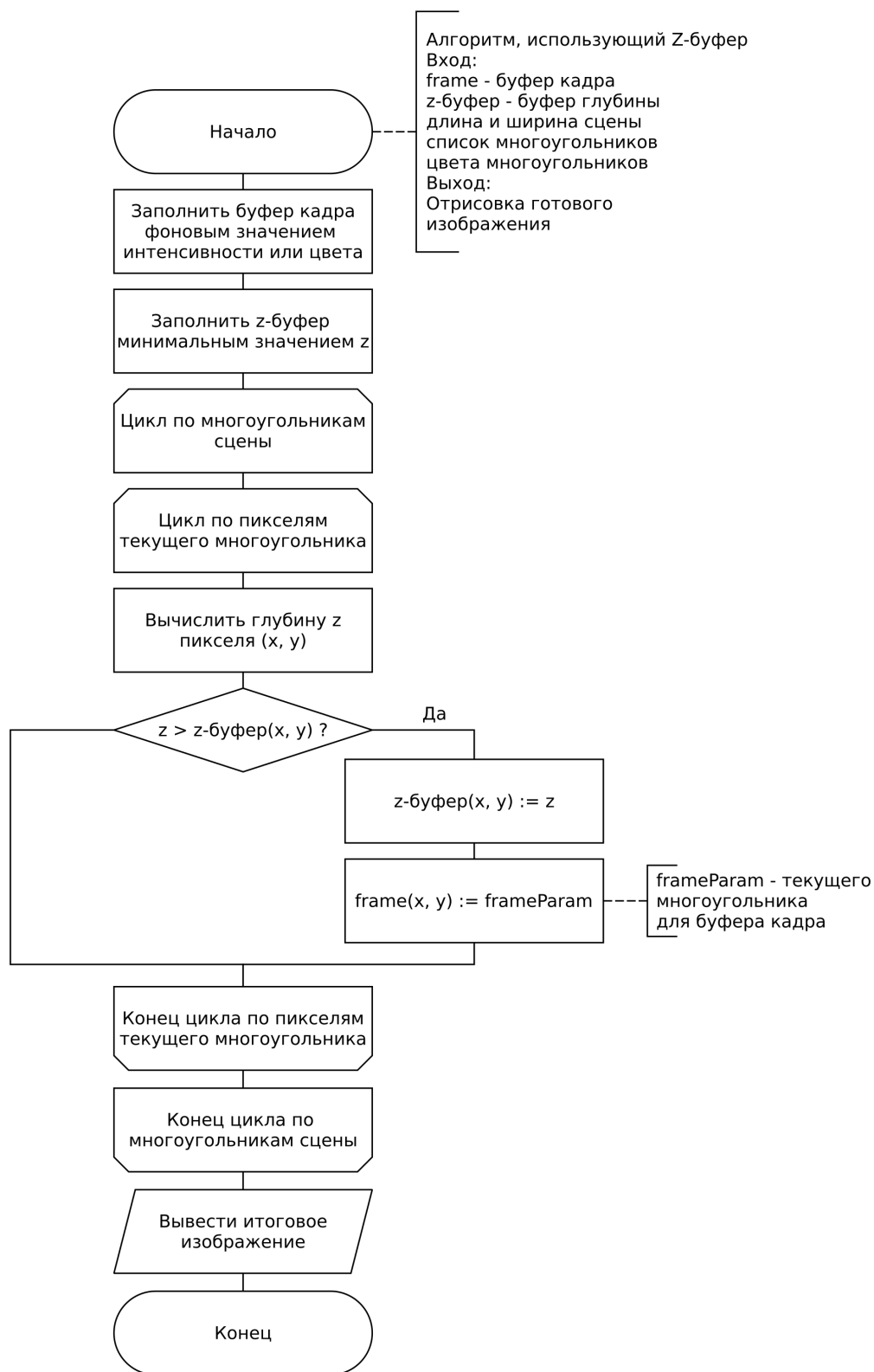


Рисунок 2.5 – Схема алгоритма z-буфера

## 2.2.4 Алгоритм закрашки по Гуро

На рисунке 2.6 представлена схема алгоритма закрашки по Гуро.

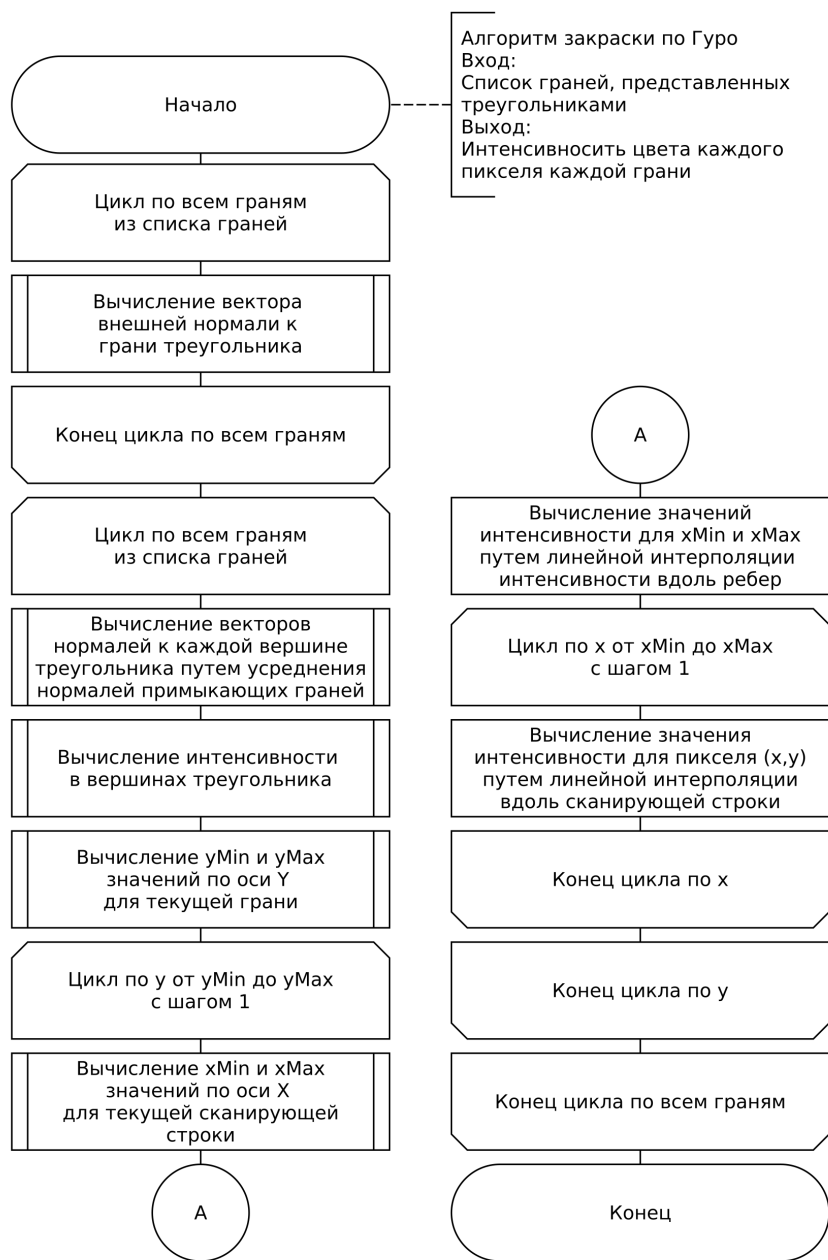


Рисунок 2.6 – Схема алгоритма закрашки по Гуро

## 2.2.5 Алгоритм, использующий Z-буфер, объединенный с закраской по Гуро

На рисунке 2.7 представлена схема алгоритма, использующего Z-буфер, объединенного с закраской по Гуро.

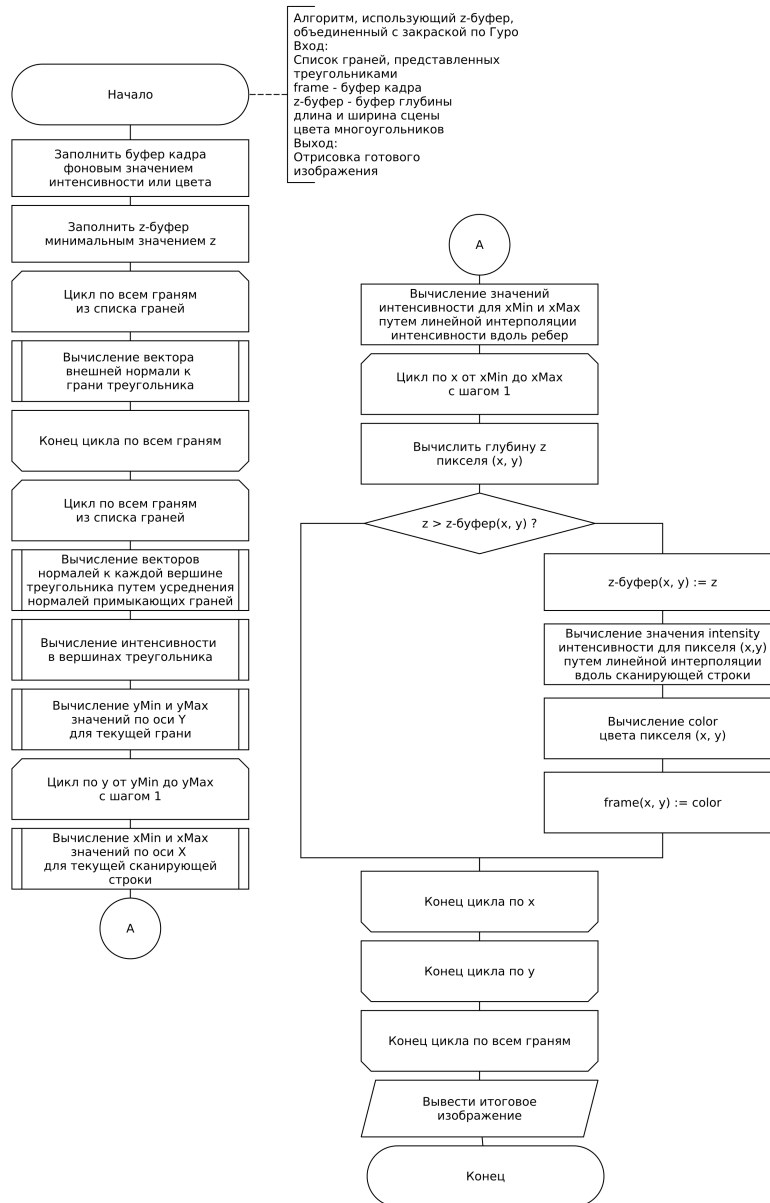


Рисунок 2.7 – Схема алгоритма, использующего Z-буфер, объединенного с закраской по Гуро



### 3 Технологический раздел

## 4 Исследовательский раздел

## ЗАКЛЮЧЕНИЕ

## СПИСОК ИСПОЛЬЗОВАННЫХ ИСТОЧНИКОВ

1. Генерация трехмерных ландшафтов [Электронный ресурс]. — Режим доступа: <https://www.ixbt.com/video/3dterrains-generation.shtml> (дата обращения: 03.07.2023).
2. Применение дерева квадрантов в визуализации ландшафтов с изменяемым уровнем детализации [Электронный ресурс]. — Режим доступа: [https://www.elibrary.ru/download/elibrary\\_34887617\\_70147073.pdf](https://www.elibrary.ru/download/elibrary_34887617_70147073.pdf) (дата обращения: 19.10.2023).
3. Исследование методов компьютерного моделирования поверхностей Земли для тестирования программного обеспечения обработки изображений со спутников [Электронный ресурс]. — Режим доступа: [https://www.elibrary.ru/download/elibrary\\_39141278\\_24936959.pdf](https://www.elibrary.ru/download/elibrary_39141278_24936959.pdf) (дата обращения: 19.10.2023).
4. Применение алгоритма midpoint-displacement в процедурной генерации ландшафтов [Электронный ресурс]. — Режим доступа: <https://cyberleninka.ru/article/n/primeneniye-algoritma-midpoint-displacement-v-protsedurnoy-generatsii-landshaftov> (дата обращения: 19.10.2023).
5. Процедурная генерация текстур на основе алгоритма Diamond-Square [Электронный ресурс]. — Режим доступа: [https://libeldoc.bsuir.by/bitstream/123456789/31470/1/Multan\\_Protsedurnaya.PDF](https://libeldoc.bsuir.by/bitstream/123456789/31470/1/Multan_Protsedurnaya.PDF) (дата обращения: 19.10.2023).
6. Diamond-square algorithm [Электронный ресурс]. — Режим доступа: [https://en.wikipedia.org/wiki/Diamond-square\\_algorithm](https://en.wikipedia.org/wiki/Diamond-square_algorithm) (дата обращения: 04.07.2023).
7. Terrain Generation Tutorial: Hill Algorithm [Электронный ресурс]. — Режим доступа: <https://www.stuffwithstuff.com/robot-frog/3d/hills/hill.html> (дата обращения: 08.07.2023).

8. *Аникеев А.* Генерация и моделирование 2D ландшафта по контрольным значениям с использованием Unity на языке программирования с# //. — — Новосибирск, Новосибирский государственный технический университет, 2020. — С. 9.
9. Perlin noise [Электронный ресурс]. — Режим доступа: [https://en.wikipedia.org/wiki/Perlin\\_noise](https://en.wikipedia.org/wiki/Perlin_noise) (дата обращения: 08.07.2023).
10. *Снук Г.* 3D-ландшафты в реальном времени на C++ и DirectX 9 //. — Пер. С англ М.: КУДИЦ-ОБРАЗ, 2007. — С. 368.
11. *Д. Р.* Алгоритмические основы машинной графики: Пер. с англ. //. — — СПб: БХВ-Петербург, 1989. — С. 512.
12. Простые модели освещения [Электронный ресурс]. — Режим доступа: <https://cgraph.ru/node/435> (дата обращения: 16.07.2023).
13. *Иванов В.П. Б. А.* Трехмерная компьютерная графика //. — — под ред. Г.М. Полищука. М.: Радио и связь, 1995. — С. 224.